

RAPPORT DU PROJET MADMC

M2 Informatique - Spécialité ANDROIDE

Sorbonne Université

Année universitaire 2019-2020

| | | |
|----------|--|-----------|
| 1 | Organisation du code | 3 |
| 2 | Méthode Heuristique | 3 |
| 2.1 | Bin Packing PLNE + Glouton | 3 |
| 2.2 | Experiences | 4 |
| 3 | MTZ | 6 |
| 4 | Branch and Cut | 8 |
| 4.1 | Inégalités pour Couper des solutions entières | 8 |
| 4.2 | Experiences | 8 |
| 4.3 | Inégalités pour Couper de solutions fractionnaires | 10 |
| 4.4 | Experiences | 10 |
| 4.5 | Remarques | 10 |
| 5 | Comparaison | 10 |

1 Organisation du code

1. Class Solveur

- (a) `plne_MTZ()`:
 - i. Résolution de l'instance par la PLNE avec la formulation MTZ
- (b) `Branch-and-Cut()`:
 - i. Résolution de l'instance par la PLNE avec la méthode Branch and Cut
- (c) `bin_plne_heuristique()`:
 - i. Résolution de l'instance par la PLNE pour obtenir une solution exacte de Bin Packing
 - ii. Produire une solution avec une méthode gloutonne à partir de la solution de la phase précédente
- (d) `bin_glouton_heuristique()`:
 - i. Résolution de l'instance par l'algorithme First fit decreasing pour obtenir une solution de Bin Packing
 - ii. Produire une solution avec une méthode gloutonne à partir de la solution de la phase précédente
- (e) `setInstance()`:
 - i. Lier une instance avec le solveur
- (f) `Instance*`
- (g) `Solution*`

2. class Solution

- (a) `write_SVG_tour()`
 - i. Générer un fichier "CVRP_solution.svg" qui permet de visualiser la solution via un navigateur
- (b) `visualisation()`
 - i. Générer un fichier "cvrp_solution.dot" et un fichier "cvrp_solution.png" qui permet de visualiser la solution
- (c) `affichage()`:
 - i. afficher la solution dans `std::cout`

3. class Instance

- (a) `read-File()`
- (b) `Clients[], distance[] []`
- (c) `Q, n, m`

4. Client

- (a) `x, y, i, demande`

2 Méthode Heuristique

2.1 Bin Packing PLNE + Glouton

1. Générer une solution exacte de Bin Packing avec la méthode First Fit Decreasing si possible, sinon avec la PLNE
2. Améliorer la solution avec une méthode gloutonne

2.2 Experiences

L'ensemble des instances: Vrp-Set-P

| instance | temps d'exécution | borne superieure trouvée | valeur optimale | gap |
|-----------------|-------------------|--------------------------|-----------------|--------|
| $n = 16, k = 8$ | 0.00s | 526 | 450 | 16.9% |
| $n = 19, k = 2$ | 0.00s | 300 | 212 | 41.5% |
| $n = 22, k = 8$ | 0.00s | 921 | 603 | 52.7% |
| $n = 40, k = 5$ | 0.00s | 927 | 458 | 102.4% |

Table 1: BinPacking plne + glouton

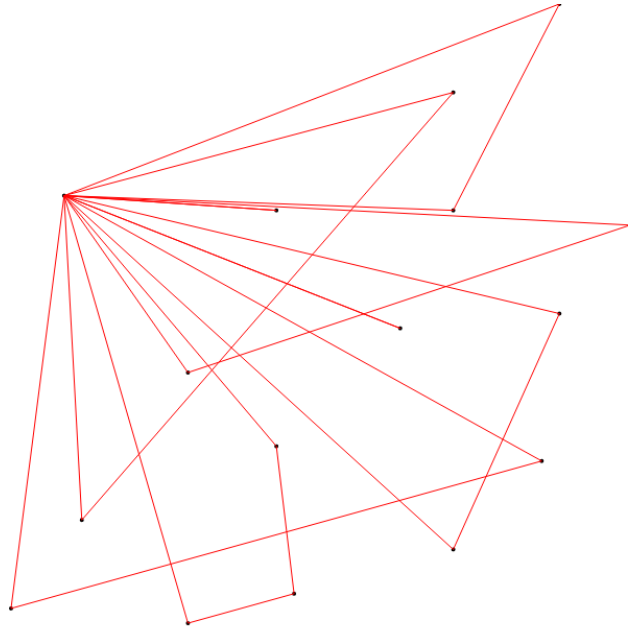


Figure 1: $P, n = 16, k = 8$

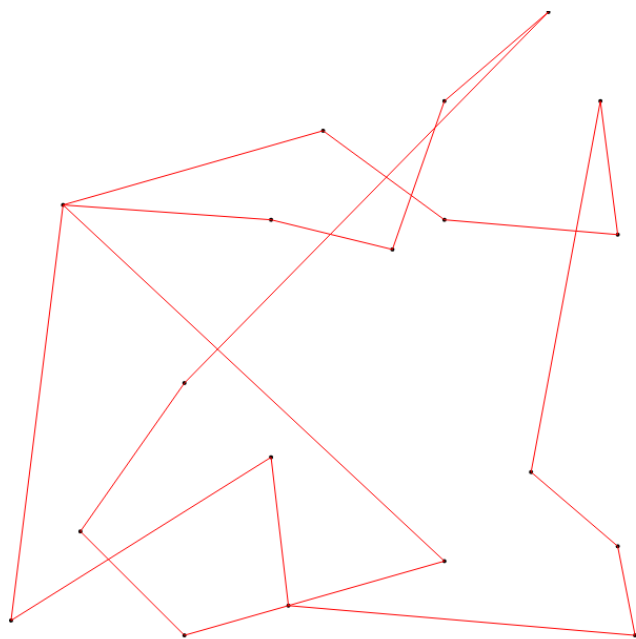


Figure 2: $P, n = 19, k = 2$.

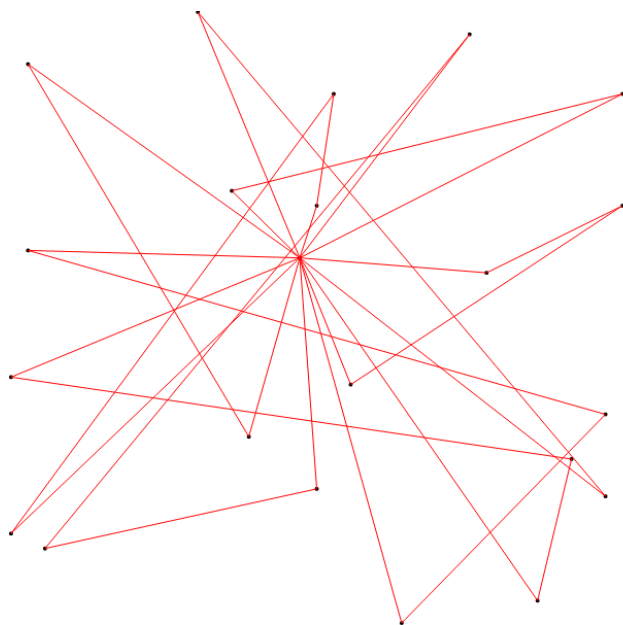


Figure 3: $P, n = 22, k = 8$.

3 MTZ

L'ensemble des instances: Vrp-Set-P

| instance | temps d'exécution | cout obtenu | cout indiqué dans le fichier |
|-----------------|-------------------|-------------|------------------------------|
| $n = 16, k = 8$ | 2.26 | 451.335 | 450 |
| $n = 19, k = 2$ | 18.07 | 212.657 | 212 |
| $n = 22, k = 8$ | 441.36 | 600.826 | 603 |

Table 2: MTZ

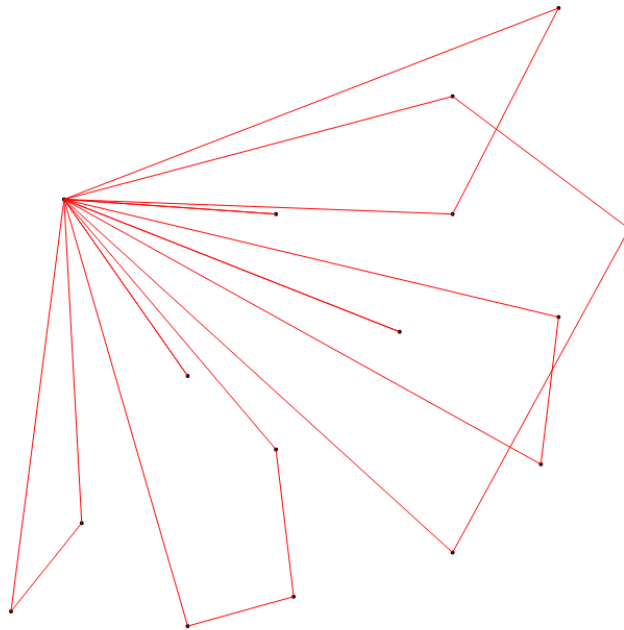


Figure 4: $P, n = 16, k = 8$

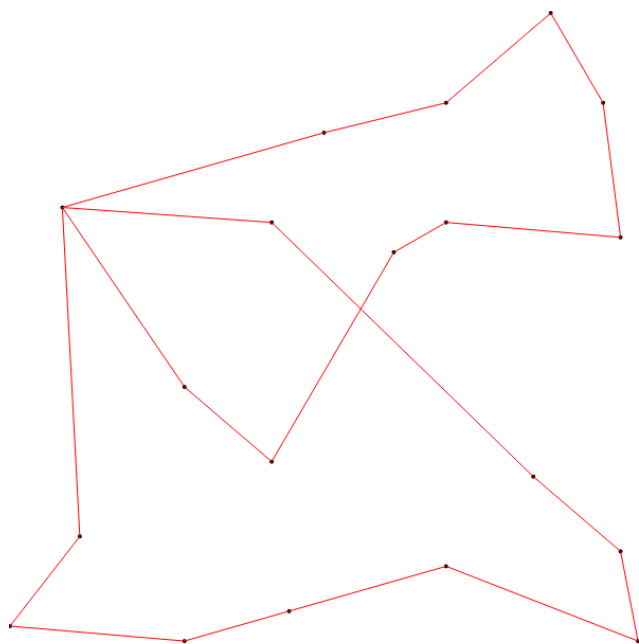


Figure 5: $P, n = 19, k = 2$.

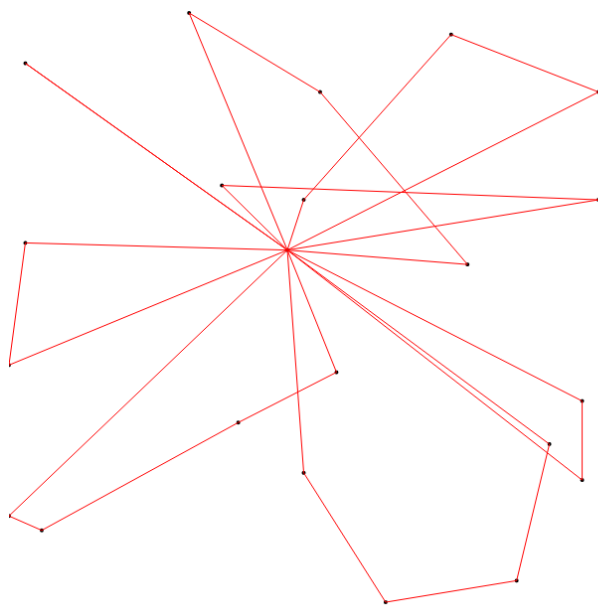


Figure 6: $P, n = 22, k = 8$.

4 Branch and Cut

4.1 Inégalités pour Couper des solutions entières

Pour une solution entière trouvée au cours de branchement, pour chaque tour S , on considère trois cas:

1. S'il est un sous tour, on ajoute la contrainte

$$\sum_{i \in S, j \in V \setminus S} X[i][j] \geq \text{ceil}((\sum_{i \in S} d[i])/Q)$$

2. S'il est un tour S passant par 0 avec $\sum_{i \in S} d[i] > Q$, on ajoute la contrainte

$$\sum_{i \in S \setminus \{0\}} X[i][j] * d[i] = \text{ceil}((\sum_{i \in S} d[i])/Q)Q$$

3. sinon, c'est une solution admissible.

4.2 Experiences

Benchmark: Vrp-Set-P

| instance | temps d'exécution | borne inférieur | cout indiqué dans le fichier | nombre de coupes |
|-----------------|-------------------|-----------------|------------------------------|------------------|
| $n = 16, k = 8$ | 1.77s | 451.33 | 450 | 287 |
| $n = 19, k = 2$ | 0.41s | 212.65 | 212 | 97 |
| $n = 22, k = 8$ | 3082s | 600.826 | 603 | 3221 |

Table 3: Lazy cut

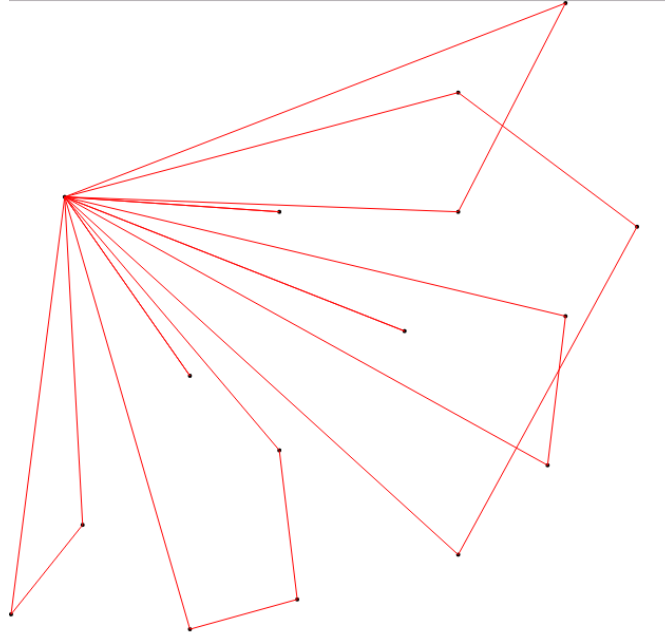


Figure 7: $P, n = 22, k = 8$

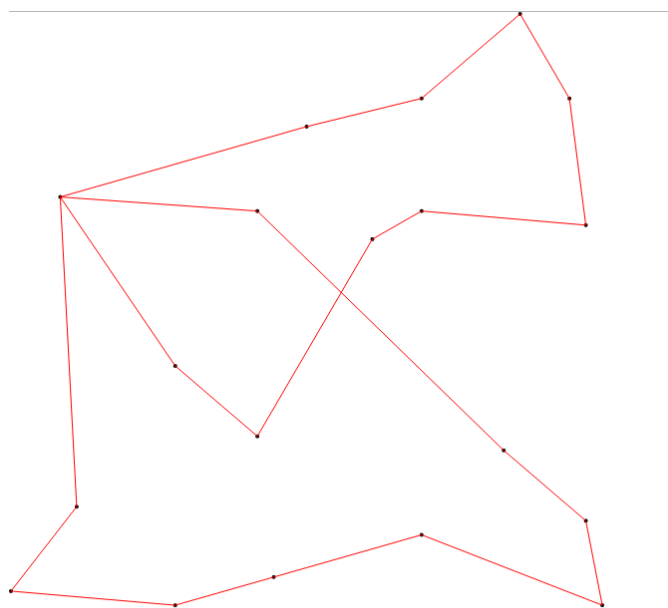


Figure 8: $P, n = 22, k = 8$

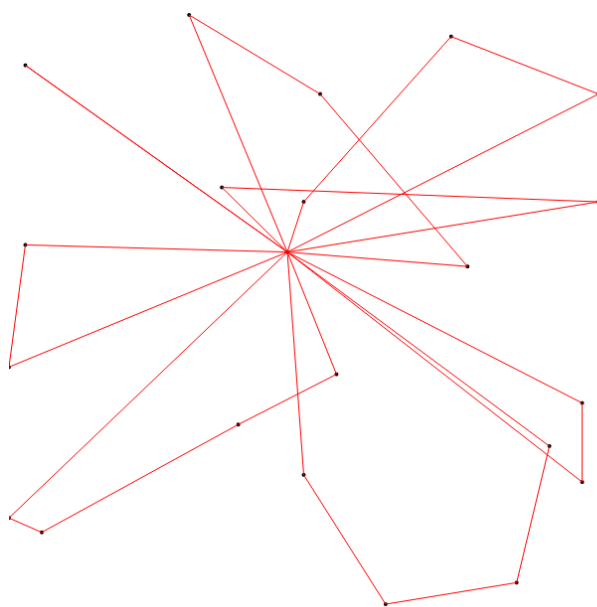


Figure 9: $P, n = 22, k = 8$.

4.3 Inégalités pour Couper de solutions fractionnaires

Méthode utilisée: Greedy randomized algorithm

1. Posons $S=\{i\}$ où i est un élément arbitraire de V
2. À chaque étape, on cherche dans V un élément v qui maximise

$$\sum_{s \in S} solx[v][s]$$

3. Ajouter v dans S et vérifier l'inégalité $\sum_{i \in S, j \in V \setminus S} X[i][j] \geq \lceil (\sum_{i \in S} d[i]) / Q \rceil$

4.4 Experiences

| instance | temps d'exécution | borne inférieure trouvée | valeur optimale | user cuts applied |
|-----------------|-------------------|--------------------------|-----------------|-------------------|
| $n = 16, k = 8$ | 3.81 | 451.335 | 450 | 335 |
| $n = 19, k = 2$ | 0.59 | 212.657 | 212 | 97 |
| $n = 22, k = 8$ | 4194 | 600.826 | 603 | 3221 |

Table 4: coupe de sous tours

4.5 Remarques

1. Les implémentations des coupes ne sont pas efficaces, parce que le graph est interprété par une matrice d'incidence.
2. Les coupes des solutions entières sont correctes.
3. Les coupes des solutions fractionnaires ne renforcent pas le programme. Par contre, elles fournissent de bonnes bornes inférieures:

| instance | temps d'exécution | borne inférieure trouvée | valeur optimale | gap |
|-----------------|-------------------|--------------------------|-----------------|------|
| $n = 16, k = 8$ | 0.41 | 417 | 450 | 7.3% |
| $n = 19, k = 2$ | 0.34 | 196 | 212 | 7.5% |
| $n = 22, k = 8$ | 59 | 550 | 603 | 8.8% |

Table 5: coupes des solutions fractionnaires

5 Comparaison

1. La méthode heuristique trouve une solution très rapide, mais la solution n'est pas optimale.
2. La méthode MTZ trouve la solution optimale, mais le temps augmente vite.
3. La méthode Branch and Cut qui utilise la liste d'incidence même avec seulement les coupes des solutions entières seraient beaucoup plus efficaces que MTZ.